

Epigenetic silencing of *DDIT3* gene and its relationship with imatinib resistance, disease progression and smoking status among patients with chronic myeloid leukemia

Maryam Foroutanjazi¹, Mohammad Hamid², Mitra Salehi³, Mehrdad Hashemi^{4,5}

¹ PhD Student, Department of Biology, North Tehran Branch, Islamic Azad University, Tehran, Iran

² Associate Professor, Department of Molecular Medicine, Biotechnology Research Center, Pasteur Institute of Iran, Tehran, Iran

³ Assistant Professor, Department of Biology, Faculty of Biology Sciences, North Tehran Branch, Islamic Azad University, Tehran, Iran

⁴ Professor, Department of Genetics, Faculty of Advanced Science and Technology, Tehran Medical Sciences, Islamic Azad University, Tehran, Iran

⁵ Professor, Farhikhtegan Medical Convergence Sciences Research Center, Farhikhtegan Hospital Tehran Medical Sciences, Islamic Azad University, Tehran, Iran

Abstract

Background: The evolution of resistance to imatinib and disease progression are multifactorial events in *CML* patients. These events are not only determined by *BCR-ABL1* dependent pathway but also are involved a number of other genetic and epigenetic aberrations including DNA methylation. We aimed to investigate the role of *DDIT3* (DNA-damage-inducible transcript 3) gene methylation in relation to response to imatinib, *CML* progression, and also investigate the impact of the smoking on methylation level.

Materials and methods: 50 *CML* patients at different clinical stages of the disease (including 20 good response and 30 non-mutated imatinib resistant patients) and 15 health control were recruited for methylation levels evaluation of promoter *DDIT3* gene by MS-HRM (Methylation Sensitive High Resolution Melt) analysis.

Results: There was significant difference in the mean (\pm standard deviation) of *DDIT3* methylation percentage between two response groups (63.8 ± 17.79 vs 47.75 ± 14.18 , $P=0.002$). *DDIT3* promoter hypermethylation in 51-100% level indicated a higher risk for progression to advance phase (OR= 5.75; 95% CI: 1.40-23.49; $P= 0.01$) and imatinib resistance (OR= 8.5; 95% CI: 1.96-36.79; $P= 0.004$). Importantly, smokers were associated with a higher percentage of *DDIT3* methylation (OR= 11.8; 95% CI, 2.67-52.67; $P=0.001$).

Conclusion: Our findings indicated that hypermethylation of *DDIT3* gene is associated with imatinib resistance, *CML* progression and smoking. Further investigations on a more number is needed to confirm of these results that could be suggest as potential biomarker of disease progression and resistance to imatinib.

Keywords: Chronic myeloid leukemia, *DDIT3*, Hypermethylation, Imatinib resistance, Smoke.

Cited as: Foroutanjazi M, Hamid M, Salehi M, Hashemi M. Epigenetic silencing of *DDIT3* gene and its relationship with imatinib resistance, disease progression and smoking status among patients with chronic myeloid leukemia. Medical Science Journal of Islamic Azad University, Tehran Medical Branch 2025; 35(1): 14-23.

Correspondence to: Mohammad Hamid

Tel: +98 9122858058

E-mail: hamid143@yahoo.com

ORCID ID: 0000-0002-4625-0713

Received: 5 Jan 2024; **Accepted:** 22 Apr 2024

مجله علوم پزشکی دانشگاه آزاد اسلامی

دوره ۳۵، شماره ۱، بهار ۱۴۰۴، صفحات ۱۴ تا ۲۳

خاموشی اپی ژنتیکی ژن *DDIT3* و ارتباط آن با مقاومت به ایما تینیب، پیشرفت بیماری و وضعیت سیگار در بین بیماران مبتلا به لوسمی میلوئیدی مزمن

مریم فروتن جزی^۱، محمد حمید^۲، میترا صالحی^۳، مهرداد هاشمی^{۴،۵}

^۱ دانشجوی دکتری، گروه بیولوژی، دانشگاه آزاد اسلامی واحد تهران شمال، تهران، ایران
^۲ دانشیار، گروه پزشکی مولکولی، مرکز تحقیقات بیوتکنولوژی، انستیتو پاستور ایران، تهران، ایران
^۳ استادیار، گروه بیولوژی، دانشکده علوم بیولوژی، دانشگاه آزاد اسلامی واحد تهران شمال، تهران، ایران
^۴ استاد، گروه ژنتیک، دانشکده علوم و فناوری پیشرفته، علوم پزشکی تهران، دانشگاه آزاد اسلامی، تهران، ایران
^۵ مرکز تحقیقات علوم همگرای پزشکی فرهیختگان، بیمارستان فرهیختگان تهران، علوم پزشکی تهران، دانشگاه آزاد اسلامی، تهران، ایران

چکیده

سابقه و هدف: مقاومت به داروی ایما تینیب و پیشرفت بیماری حوادث چند عاملی در بیماران مبتلا به *CML* هستند که نه تنها توسط مسیر وابسته به *BCR-ABL1* تعیین می‌شوند، بلکه شامل تعدادی از تغییرات ژنتیکی و اپی ژنتیکی دیگر از جمله متیلاسیون *DNA* نیز می‌شوند. هدف ما بررسی نقش متیلاسیون ژن *DDIT3* (*DNA-Damage-Inducible Transcript 3*) در رابطه با پاسخ به ایما تینیب، پیشرفت *CML* و همچنین بررسی تأثیر سیگار بر سطح متیلاسیون بود.

روش بررسی: ۵۰ بیمار *CML* در مراحل بالینی مختلف بیماری (۲۰ بیمار پاسخ خوب و ۳۰ بیمار مقاوم به ایما تینیب غیر جهش یافته) و ۱۵ کنترل سالم برای بررسی سطح متیلاسیون ژن *DDIT3* بوسیله آنالیز *MS-HRM* (*Methylation Sensitive High Resolution Melt*) مورد مطالعه قرار گرفتند.

یافته‌ها: تفاوت قابل توجهی در میانگین درصد متیلاسیون *DDIT3* بین دو گروه پاسخ دهنده و مقاوم به دارو وجود داشت (۶۳/۸ درصد در مقابل ۴۷/۷۵ درصد؛ $P=۰/۰۰۲$). هاپر متیلاسیون پروموتور ژن *DDIT3* در سطح ۱۰۰-۵۱ درصد خطر بیشتری برای پیشرفت به فاز پیشرفته بیماری و مقاومت به ایما تینیب نشان داد. افراد سیگاری با درصد بالاتری از متیلاسیون ژن *DDIT3* همراه بودند.

نتیجه‌گیری: یافته‌های ما نشان داد که هیپرمتیلاسیون ژن *DDIT3* با مقاومت ایما تینیب، پیشرفت *CML* و سیگار کشیدن همراه است. تحقیقات بیشتر روی تعداد بیشتری بیمار برای تأیید این نتایج مورد نیاز است که می‌تواند به عنوان نشانگر زیستی بالقوه پیشرفت بیماری و مقاومت به ایما تینیب پیشنهاد شود.

واژگان کلیدی: لوسمی میلوئید مزمن، *DDIT3*، هیپرمتیلاسیون، مقاومت به ایما تینیب، دود سیگار.

مقدمه

ایجاد می‌شود. حاصل این ترکیب پروتئین *bcr-abl1* است که دارای فعالیت تیروزین کینازی مداوم است (۱،۲). ایما تینیب (*IM*; *Imatinib mesylate*) یا *Glivec* داروی خط اول و استاندارد طلایی برای درمان بیماران *CML* است، این دارو دمین تیروزین کینازی (*Tyrosin Kinase Domain*) پروتئین *bcr-abl1* را هدف قرار می‌دهد، همچنین فعال شدن کیناز و انتقال سیگنال را مهار می‌کند (۳). درمان با ایما تینیب به طور

لوسمی میلوئید مزمن (*CML*) نوعی سرطان میلوپرولیفراتیو است و در نتیجه جابجایی متقابل کروموزوم‌های ۹ و ۲۲

آدرس نویسنده مسئول: تهران، خیابان پاستور، مرکز تحقیقات بیوتکنولوژی، دکتر محمد حمید

(email: hamid143@yahoo.com)

ORCID ID: 0000-0002-4625-0713

تاریخ دریافت مقاله: ۱۴۰۲/۱۰/۱۶

تاریخ پذیرش مقاله: ۱۴۰۳/۱/۳

قابل توجهی بقای بیماران را در دو سوم آنها افزایش داده است (۴،۳). علیرغم موفقیت درمان با ایماتینیب، مقاومت به ایماتینیب یک مشکل بالینی قابل توجه است و تقریباً ۴۰٪ از بیماران در نهایت در درمان با آن شکست خواهند خورد (۳). مقاومت به ایماتینیب یک رویداد چند عاملی در بیماران CML است و مکانیسم‌های مختلف مقاومت به ایماتینیب از جمله مسیرهای وابسته به BCR-ABL1 و مسیرهای مستقل BCR-ABL1 توضیح داده شده‌اند (۵،۶). جهش‌های نقطه‌ای در دومین کینازی به عنوان مکانیسم وابسته به BCR-ABL1 به طور کلی یکی از دلایل مقاومت به IM هستند (۷). پیش از این، نقش جهش در دومین تیروزین کینازی ژن BCR-ABL در ایجاد مقاومت به ایماتینیب در میان بیماران ایرانی مبتلا به CML گزارش شد و نشان داده شد که جهش تنها عامل ایجاد مقاومت نیست (۸). مکانیسم‌های اپی ژنتیکی مستقل از ژن BCR-ABL1 وجود دارد که به مقاومت ایماتینیب کمک میکنند و ممکن است به عنوان عوامل بالقوه در بیماران مقاومی که جهش ندارند باشند (۹). دلایل محکمی وجود دارد که نشان می‌دهد پاسخ دارویی و نتایج بالینی بیماری CML به تنهایی توسط ژن BCR-ABL1 تعیین نمی‌شود، بلکه شامل تعدادی دیگر از انحرافات ژنتیکی و اپی ژنتیکی است که در تنظیم میزان بالای تکثیر و پیشگیری از آپوپتوز نقش اساسی دارند (۱۰). اهمیت اپی ژنتیک در ایجاد انواع سرطان‌های انسانی، به ویژه لوسمی‌ها، در دهه اخیر به رسمیت شناخته شده است (۱۱،۱۰). خاموشی اپی ژنتیک توسط متیلاسیون DNA در نواحی CpG پروموتور ژن‌های مختلف، رونویسی ژن را مهار می‌کند که منجر به کاهش بیان پروتئین می‌شود (۹). هایپر متیلاسیون چندین ژن از جمله ژن‌های سرکوبگر تومور شناسایی شده است که از طریق تأثیر بر رشد طبیعی سلول‌ها در سرطان‌زایی نقش دارند. علاوه بر این، متیلاسیون غیرطبیعی DNA با تشکیل کلون‌های لوسمیک مقاوم به مهارکننده‌های تیروزین کیناز مرتبط بوده و به عنوان علت پیشرفت CML در نظر گرفته شده است (۱۲). برخی از مطالعات نشان داده‌اند که هایپر متیلاسیون چندین ژن ممکن است در پیشرفت بیماری و ایجاد مقاومت به ایماتینیب در CML نقش داشته باشند (۱۵-۱۳). ژن *DDIT3* (DNA-Damage-Inducible Transcript 3)، همچنین به نام *C/EBP ζ* (CCAAT/enhancer binding Protein zeta) یک ژن سرکوبگر تومور است در همه جا بیان شده و می‌تواند توسط آسیب به DNA، هیپوگلیسمی، تشعشع و استرس سلولی القا شود. ۵ عضو دیگر این خانواده پروتئینی هم نقش مهمی در

تکثیر سلولی و تمایز سلول‌های هماتوپوئیک دارند (۱۴). مطالعات متعددی نقش *DDIT3* در تنظیم رشد سلولی و تمایز را تایید کردند. افزایش بیان رونوشت *DDIT3* موجب القای افزایش آپوپتوز سلول‌های میلوئیدی و مهار سلول‌ها در مرحله پیشرفت از فاز G1 به فاز S می‌شود (۱۴). در مطالعه‌ای توسط Qian و همکارانش نشان داده شده است که سطح رونوشت *DDIT3* در سلول‌های میلوئید کاهش بیان دارند (۱۶). در بررسی سطح متیلاسیون ژن *DDIT3* در مطالعه‌ای بر روی بیماران مبتلا به لوسمی میلوئیدی حاد (AML; Acute myloied leukemia) هیچ متیلاسیونی مشاهده نشد (۱۷)، اما در مطالعه دیگری بر روی بیماران مبتلا به سندرم میلودیسیپلاستیک، متیلاسیون غیر عادی ژن *DDIT3* در ۳۱/۸ درصد از بیماران آنالیز شده مشاهده شد (۱۸). از آنجایی که مطالعات کمی برای ارزیابی سطح متیلاسیون ژن *DDIT3* در بیماران CML صورت گرفته است، بنابر این هدف در مطالعه حاضر ارزیابی وضعیت و نقش متیلاسیون غیر عادی پروموتور ژن *DDIT3* در ارتباط با پاسخ ایماتینیب و پیشرفت بیماری بود. ما همچنین برای اولین بار همراهی دود سیگار را با سطح متیلاسیون ژن *DDIT3* در بیماران CML ارزیابی کردیم.

مواد و روشها

جمعیت مورد مطالعه

نمونه خون محیطی از ۵۰ بیمار لوسمی میلوئیدی مزمن یا CML با *BCR-ABL1* مثبت یا Ph^+ (شامل ۲۰ نفر از بیماران پاسخگو به درمان و ۳۰ نفر مقاوم به درمان و بدون جهش) با میانگین سنی ۴۵/۲۷ سال و ۱۵ کنترل سالم شامل ۷ زن و ۸ مرد (۴۶/۷ درصد زن و ۵۳/۳ درصد مرد) با میانگین سنی ۴۶/۴۷ سال بدون سابقه ابتلا به سرطان یا هر بیماری مزمن دیگری برای آنالیز درصد متیلاسیون پروموتور ژن *DDIT3* بوسیله متد HRM (Methylation Sensitive- High Resolution Melting) MS-انتخاب شدند. معیار کلی ورود بیماران به این مطالعه، وجود کروموزوم فیلادلفیا Ph^+ و ژن ترکیبی BCR-ABL و مصرف داروی ایماتینیب با حداقل دوز ۴۰۰ میلی گرم در روز بود. علاوه بر اینها شرط ورود بیماران مقاوم به درمان محرز بودن مقاومت با تشخیص پزشک هماتولوژیست-انکولوژیست و با توجه به نتایج آزمایشات مولکولی و سیتوژنتیکی بر اساس پروتکل استاندارد ELN بود. در این مطالعه به منظور حذف متغیر مداخله‌گر موثر در ایجاد مقاومت به دارو یعنی جهش‌ها در دومین کینازی،

متیله (۰٪) یونیورسال و بی سولفیت شده استفاده شد (DNA کنترل EpiTect کنترل متیله و غیر متیله شرکت کیاژن). یک سریال از رقت متفاوت متیلاسیون در نسبت‌های گرادیان (۱۰٪، ۲۵٪، ۵۰٪، ۷۵٪) تهیه و به عنوان استانداردهای کنترل DNA با سطوح مختلف متیلاسیون مورد استفاده قرار گرفت. این استانداردهای DNA در هر آزمایش تجربی برای ایجاد منحنی های استاندارد گرادیان گنجانده شد. از این منحنی‌ها برای ارزیابی درصد متیلاسیون بیماران و نمونه‌های نرمال استفاده شد. طبق پروتکل سازنده تبدیل بی سولفیت فرآیندی است که شامل مجموعه‌ای از واکنش‌های شیمیایی است که منجر به تبدیل سیتوزین‌های متیله نشده به اوراسیل می‌شود، در حالی که سیتوزین‌های متیله تغییر نمی‌کنند. یک اوراسیل با یک تیمین در طی PCR جایگزین می‌شود. وضعیت متیلاسیون DDIT3 توسط MS-HRM تجزیه و تحلیل شد.

تکنیک MS-HRM

تجزیه و تحلیل متیلاسیون پروموتور DDIT3 توسط MS-HRM DNA تیمار شده با بی سولفیت با استفاده از یک جفت آغازگر طراحی شده برای تکثیر آلل‌های متیله و غیر متیله پروموتور تحت واکنش MS-HRM قرار گرفت. پرایمرهای MS-HRM با استفاده از برنامه آنالیزن مت پرایمر ورژن V2.0 (www.urogene.org, chinese academy of Medical Science) طراحی شدند. طراحی پرایمر بر اساس استانداردهای پیشنهادی Wojdacz و همکاران بود (۲۱). توالی پرایمرهای طراحی شده برای پروموتور ژن DDIT3 در مطالعه طبق جدول ۱ بود.

جدول ۱. توالی پرایمرهای ژن DDIT3

نام ژن	توالی پرایمر ۳' → 5'
DDIT3	Forward: GTGTAGATATCGGTTGTTAAATATTG Reverse: GAACCCGAAAATAACTTTAAATC

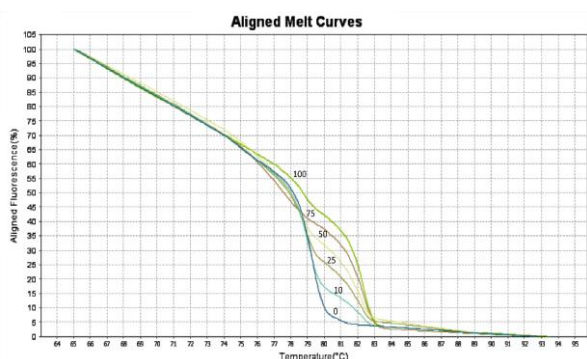
پرایمرها قبل از سنتز با استفاده از ابزار Bisearch (http://bisearch.enzim.hu) بلاست شدند. تجزیه و تحلیل MS-HRM و تکثیر DNA بیسولفیت شده توسط دستگاه Step one plus real time PCR system (Applied Biosystem, USA) انجام شد. داده‌های HRM توسط نرم افزار High Resolution Melt Analysis مورد تجزیه و تحلیل قرار گرفت. حجم کلی واکنش شامل ۱۰ میکرولیتر بود که شامل مخلوط 5X HOT FIREPOL EvaGreen HRM (noROX) (Solis Biodyne Co, Estonia) ۲۰۰ نانومولار از هر آغازگر، ۲۰ نانوگرم DNA بی سولفیت شده و آب فاقد DNase و RNase (شرکت سینا کلون

بیماران مقاوم به درمان که قبلاً در طی انجام آنالیز موتاسیونی فاقد جهش شناخته شده بودند، وارد مطالعه شدند. در مجموع ۳۵ نفر از بیماران در فاز مزمن (CP; Chronic phase) ۱۲ نفر در مرحله تسریع (AP; Accelerate phase) و ۳ نفر در مرحله بلاستیک (BP; Blastic phase) بودند. معیار ورود افراد کنترل به مطالعه عدم سابقه ابتلا به سرطان یا هر بیماری مزمن دیگری بود. این مطالعه توسط کمیته اخلاق انستیتو پاستور ایران تایید شد (کد اخلاق شماره IR.PII.REC.1397.56) و همچنین پیش از نمونه گیری رضایت نامه کتبی از بیماران جهت شرکت در مطالعه گرفته شد. بیماران برای حداقل ۱۸ ماه با ایماتینیب (دز ۴۰۰-۸۰۰ میلی گرم در روز) بعنوان اولین خط درمانی درمان شدند. مدت پیگیری بیماران بعد از درمان ایماتینیب ۴۸ ماه بود. بیماران به دو گروه مقاوم به ایماتینیب و پاسخ دهنده خوب به دارو بر اساس پاسخ سیتوژنتیکی یا مولکولی آنها مطابق با معیارهای شبکه لوسمی اروپا ۲۰۱۳ (ELN) دسته بندی شدند (۱۹). با توجه به این معیار ارزیابی بیماران مقاوم به صورت فقدان پاسخ مولکولی مازور تا ۱۸ ماه و یا پاسخ سیتوژنتیکی کامل تا ۱۲ ماه بعد از شروع درمان تعیین شدند (۱۹). بیماران مقاوم انتخابی هیچ موتاسیونی در دمین کینازی ژن ABLI نداشتند، به طوری که قبلاً آنالیز شدند (اطلاعات آنالیز نمایش داده نشده است). اطلاعات بالینی بیماران از نظر سن، جنس و وضعیت سیگار جمع آوری و ثبت شدند. افراد از نظر وضعیت سیگار به دو گروه سیگاری و غیر سیگاری تعریف شدند. ۱- افراد سیگاری (Smoker): افرادی که از چند نخ سیگار تا یک بسته سیگار در روز مصرف می‌کردند و یا در معرض دود سیگار بودن؛ ۲- افراد غیر سیگاری (Non smoker): افرادی که هرگز سیگار مصرف نکردند. از ۱۵ فرد کنترل سالم ۶ فرد سیگاری و ۹ فرد غیرسیگاری بودند و از طرفی بیماران شامل ۲۶/۵۰ سیگاری و ۲۴/۵۰ غیر سیگاری بودند.

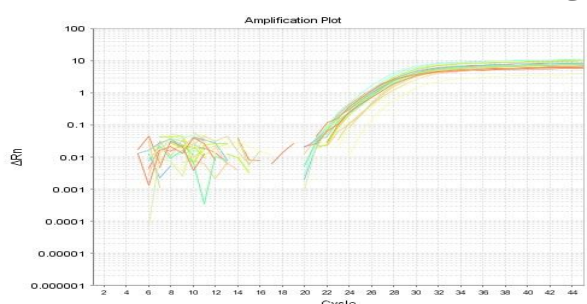
استخراج DNA و بی سولفیت کردن نمونه‌ها

DNA ژنومی از خون محیطی به میزان ۴ میلی لیتر از بیماران مبتلا به CML و افراد سالم با استفاده از روش Salting out استخراج شد (۲۰). کیفیت DNA استخراج شده با استفاده از الکتروفورز ژل آگارز بررسی شد و کمیت و کیفیت DNA با استفاده از نانو دراپ با نسبت 260/280 توسط نانودراپ (شرکت BioTek Epoch) مورد ارزیابی قرار گرفت. ۵۰۰ نانوگرم در میکرولیتر از DNA استخراج شده به عنوان غلظت مناسب با بی سولفیت سدیم با استفاده از کیت متیلاسیون EZ DNA (Zymo Reaserch، ایالات متحده آمریکا) بر اساس پروتکل شرکت سازنده استفاده شد. از کنترل DNA کاملاً متیله (۱۰۰٪) و کاملاً غیر

(Corporation) انجام شد و سطح معنی‌داری $P < 0.05$ در نظر گرفته شد.



الف



ب

شکل ۱. نمودار تکثیر پرموتر ژن *DDIT3* در بیماران و کنترل‌ها (الف). منحنی ذوب نرمالیز شده کنترل‌های استاندارد (ب)

یافته‌ها

پروفایل بالینی بیماران

۵۰ بیمار *CML* (۳۰ بیمار مقاوم فاقد جهش و ۲۰ بیمار پاسخگو به دارو) و ۱۵ فرد کنترل سالم برای ارزیابی سطح متیلاسیون پرموتر ژن *DDIT3* بررسی شدند. مقایسه میانگین سنی و جنسی و وضعیت سیگار بیماران و کنترل‌های سالم نشان داد که هیچ تفاوت معنی‌داری از نظر سن و جنس و از نظر وضعیت سیگار بین بیماران و کنترل‌ها وجود نداشت و لذا همسان سازی بین آنها حاصل شده است (میانگین \pm انحراف معیار $45/27 \pm 3/01$ برای بیماران و $46/11 \pm 47/74$ برای افراد کنترل، $P > 0.05$ ؛ نسبت مرد به زن در بیماران ۲۷ به ۲۳ و در افراد کنترل ۸ به ۷، $P > 0.05$ ؛ تفکیک بیماران از نظر سیگار $26/50$ سیگاری و $24/50$ غیر سیگاری و در افراد کنترل سالم $6/15$ سیگاری و $9/15$ غیر سیگاری بودند، $P > 0.05$).

ایران) برای رساندن حجم نهایی واکنش به ۱۰ میکرولیتر بود. شرایط PCR به صورت زیر تنظیم شد:

دنا تورا سیون اولیه در دمای ۹۵ درجه سانتی‌گراد به مدت ۱۲ دقیقه، ۴۵ سیکل شامل دنا تورا سیون در دمای ۹۵ درجه سانتی‌گراد به مدت ۱۵ ثانیه، دمای اتصال پرایمرها ۶۰ درجه سانتی‌گراد به مدت ۱ دقیقه و گسترش در دمای ۷۲ درجه سانتی‌گراد به مدت ۴۰ ثانیه. تکثیر PCR با تشکیل هترو دوپلکس در دمای ۹۵ درجه سانتی‌گراد به مدت ۱۰ ثانیه و سپس در دمای ۶۰ درجه سانتی‌گراد به مدت ۱ دقیقه دنبال شد. پس از این مرحله، آنالیز HRM با افزایش $0/3$ درجه سانتی‌گراد انجام شد و دما به مدت ۱۵ ثانیه با هر افزایش حفظ شد. افزایش دما از ۶۰ درجه سانتی‌گراد تا ۹۵ درجه سانتی‌گراد انجام شد. برای تأیید صحت و تکرارپذیری، هر واکنش بصورت دوپلیکیت انجام شد. در هر ران آزمایش کنترل منفی (فاقد نمونه الگو) و کنترل‌های سریالی ($0/0$ ، $1/0$ ، $2/5$ ، $5/0$ ، $7/5$ ، $10/0$) در واکنش وارد شدند. برای ایجاد نمودار تفاوت از داده‌های MS-HRM استفاده شد. دمای اتصال پرایمرها برای به دست آوردن حداکثر غلظت $5/0$ تنظیم شد تا فقدان هر گونه سوگیری به سمت الگوی متیله یا غیر متیله ثابت شود. منحنی ذوب تراز شده (Aligned melt curve) با در نظر گرفتن $0/0$ به عنوان واحد فلورسنت نسبی مرجع، با استفاده از نرم افزار Step one plus HRM ایجاد شد. نمودار تکثیر پرموتر ژن در نمونه‌ها و منحنی‌های ذوب استاندارد برای تمام سطوح کنترل متیلاسیون ($0/0$ ، $1/0$ ، $2/5$ ، $5/0$ ، $7/5$ ، $10/0$) ترسیم شد (شکل ۱ الف و ب). تجزیه و تحلیل MS-HRM بر اساس مقایسه پروفایل‌های ذوب نمونه‌ها با پروفایل‌های ذوب از DNA نمونه‌هایی با درصد متیلاسیون شناخته شده برای کنترل‌های متیلاسیون انجام شد.

رعایت اصول اخلاقی

این مطالعه با گزینت و کد شماره ۱۰۳۳ و کد اخلاقی IR.PII.REC.1397.56 به تایید انستیتو پاستور ایران رسیده است.

تحلیل آماری

مقایسه توزیع میانگین ویژگی‌های دموگرافیکی برای متغیرهای کیفی و کمی با استفاده از مربع کای دو، Exact Fisher test و t-test به ترتیب انجام شد. تست رگرسیون لجستیک برای ارزیابی ارتباط بین سطوح متیلاسیون پرموتر *DDIT3* و ریسک مقاومت به ایمانتینیب، پیشرفت بیماری در بیماران *CML* بوسیله محاسبه OR (Odds ratio) و $95/0$ فاصله اطمینان بکار برده شد. همه آنالیزها با استفاده از نرم افزار SPSS نسخه ۱۹ (IBM

جدول ۲. ویژگی‌های بالینی بیماران

P-value	پاسخگو به ایماتینیب	مقاوم به ایماتینیب	ویژگی‌های بالینی
۰/۵	۲۰ (۴۰)	۳۰ (۶۰)**	افراد
	(۵۰)۱۰/(۵۰)۱۰	(۴۳/۳۳)۱۳/(۵۶/۶۷)۱۷	جنس (مرد/زن)
۰/۴۱	۴۷/۴ ± ۱۶/۴۱	۴۳/۱۴ ± ۱۴/۴۳ [§]	سن (سال)
			فاز بیماری
۰/۰۰۰۶	۲۰ (۱۰۰)	۱۵ (۵۰)	Chronic
۰/۰۷	.	۱۲ (۴۰)	Accelerate
	.	۳ (۱۰)	Blastic crisis
			وضعیت سیگار
۰/۰۱	۶ (۳۰)	۲۰ (۶۶/۶۷)	سیگاری
	۱۴ (۷۰)	۱۰ (۳۳/۳۳)	غیرسیگاری
۰/۴۹	۴۵ ± ۱۲/۳	۴۸ ± ۱۶/۲۴	مدت زمان بررسی
۰/۰۰۲	۴۷/۷۵ ± ۱۴/۱۸	۶۳/۸ ± ۱۷/۷۹	میزان متیلاسیون پر موتور ژن DDIT3

* سطح معنی داری کمتر از ۰/۰۵ است؛ ** تعداد (درصد)؛ [§] میانگین ± انحراف معیار

جدول ۳. مقایسه فراوانی درصد متیلاسیون ژن DDIT3 در بین گروه‌های سالم و بیمار و بین بیماران مقاوم و پاسخگو به ایماتینیب

P-value	پاسخگو (n=۲۰)	مقاوم به ایماتینیب (n=۳۰)	P-value	بیماران (n=۵۰)	کنترل سالم (n=۱۵)	سطح متیلاسیون ژن DDIT3 (%)
۱	۰	۰	۰/۰۰۲**	۰	۴	۰-۱۰
۰/۰۸	۷	۳	۰/۲۹	۱۰	۵	۲۵-۴۹
۰/۱۳	۱۰	۹	۰/۸۷	۱۹	۶	۵۰-۷۴
۰/۰۰۲**	۳	۱۸	۰/۰۰۱**	۲۱	۰	۷۵-۱۰۰

* سطح معنی داری کمتر از ۰/۰۵ است

بیمار S به ترتیب نشان می‌دهد. آنالیز متیلاسیون طبق جدول ۳ نشان داد که سطح متیلاسیون ژن DDIT3 در گروه بیماران محدوده بین ۱۰۰-۲۵ درصد و در گروه کنترل‌های سالم بین ۷۴-۰ درصد بود. در دسته ۱۰-۰ و ۷۵-۱۰۰ درصد تفاوت معنی‌داری در فراوانی سطح متیلاسیون ژن DDIT3 بین بیماران و کنترل‌های سالم وجود داشت ($P < 0/05$). از طرفی در مقایسه بین دو گروه پاسخگو و غیر پاسخگو برای سطوح مختلف متیلاسیون در دسته ۱۰۰-۷۵ درصد تفاوت معنی‌داری وجود داشت، به طوری که تعداد بیماران مقاوم با سطح متیلاسیون بالای ۷۴ درصد بیشتر از بیماران پاسخگو بود ($P = 0/002$). هیچ کدام از بیماران درصد متیلاسیون ۰-۲۴ درصد و همچنین هیچ کدام از کنترل‌های سالم متیلاسیون ۱۰۰-۷۵ درصد را نشان ندادند (جدول ۳).

ویژگی‌های بالینی شامل سن، جنس، مدت زمان بررسی و پیگیری بیماران، فاز بیماری، وضعیت سیگار و سطح متیلاسیون بین بیماران پاسخگو و غیر پاسخگو مقایسه شدند. تفاوت معنی‌داری در مورد میانگین سن، جنس و زمان پیگیری بین دو گروه پاسخ وجود نداشت ($P > 0/05$), در حالی که برای فاز بیماری، وضعیت سیگار و سطح متیلاسیون بین دو گروه تفاوت معنی‌دار بود ($P = 0/002$, $P = 0/01$, $P = 0/0006$) (جدول ۲).

فراوانی سطح متیلاسیون غیر عادی ژن DDIT3

در این مطالعه آنالیز MS-HRM با حساسیت بالا و بدون هیچ سوگیری به سمت الگوی متیله یا غیر متیله انجام شد. در شکل ۱ ب و شکل ۲ منحنی ذوب نرمالایز شده را به صورت پیک‌های کاملاً متمایز و مشخص برای تمام کنترل‌های سریالی استاندارد ۰، ۱۰، ۲۵، ۵۰، ۷۵ و ۱۰۰ درصد متیله و هم چنین برای کنترل‌های سریالی مذکور و نمونه

جدول ۴. ارتباط بین میزان متیلاسیون ژن DDIT3 و پاسخ به ایماتینیب و پیشرفت بیماری در میان بیماران CML

متیلاسیون ژن DDIT3 (%)	مقاوم به ایماتینیب (n=30)	بیماران پاسخگو (n=20)	سطح معنی داری	نسبت شانس	۹۵ درصد فاصله اطمینان
۵۰-۲۵	۱۲ (**۴۰)	۱۷ (۸۵٪)	-	Reference	
۱۰۰-۵۱	۱۸ (۶۰٪)	۳ (۱۵٪)	۰/۰۰۴	۸/۵	۳۶/۷۹-۱/۹۶
متیلاسیون ژن DDIT3 (%)	فاز بلاست+فاز شتاب	فاز مزمن			
۵۰-۲۵	۲۶/۶۷ (۴)	۳۵ (n=)	-	Reference	
۱۰۰-۵۱	۱۱ (۷۷/۳۳٪)	۷ (۲۰٪)	۰/۰۰۱	۵/۷۵	۲۳/۴۹- ۱/۴۰

* سطح معنی داری کمتر از ۰/۰۵ می باشد. ** تعداد (درصد)

جدول ۵. ارتباط بین سیگار با میزان متیلاسیون ژن DDIT3

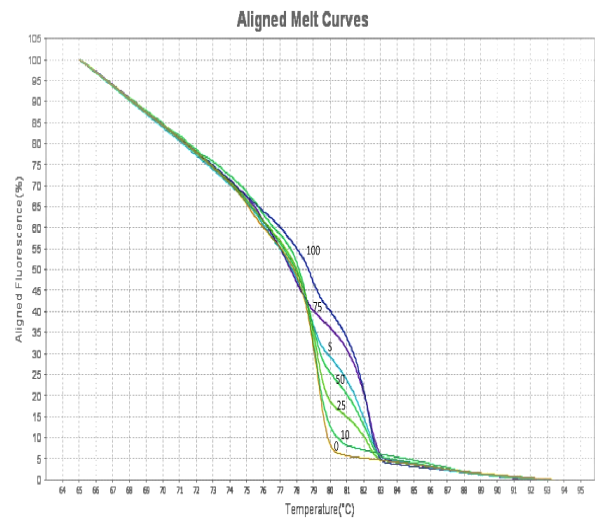
متیلاسیون ژن DDIT3 (%)	سیگاری (N=۲۶)	غیر سیگاری (N=۲۴)	سطح معنی داری	نسبت شانس	۹۵ درصد فاصله اطمینان
۵۱-۱۰۰	۱۸ (**۶۹/۲۳)	۳ (۱۲/۵٪)	۰/۰۰۱	۱۱/۸	۵۲/۶۷-۲/۶۷
۲۵-۵۰	۸ (۳۰/۷۷٪)	۲۱ (۸۷/۵٪)			

* سطح معنی داری کمتر از ۰/۰۵ می باشد؛ ** تعداد (درصد)

دسته ۲۵-۵۰ و ۵۱-۱۰۰ درصد تقسیم شد. دسته ۵۱-۱۰۰ درصد به عنوان DDIT3 hypermethylated در نظر گرفته شد (۵۰ درصد بعنوان نقطه برش یا Cut off point) آنگاه درصدها مقایسه شدند. جدول ۴ نشان داد که تفاوت معنی داری در درصد متیلاسیون ۵۱-۱۰۰ بین دو گروه مقاوم و پاسخگو به ایماتینیب وجود داشت. به عبارت دیگر هایپرمتیلاسیون پروموتور ژن DDIT3 در سطح ۵۱-۱۰۰ درصد یک ریسک بالاتر (۸/۵ برابر) برای بیماران مقاوم نشان داد (OR=۸/۵، ۹۵ درصد فاصله اطمینان ۳۶/۷-۱/۹۶؛ P=۰/۰۰۴) (جدول ۴).

همراهی بین سطح متیلاسیون پروموتور ژن DDIT3 و پیشرفت بیماری

در این مطالعه، هایپرمتیلاسیون پروموتور DDIT3 بطور معنی داری در بیماران با فاز پیشرفته بیماری بیشتر از فاز کرونیك بود (۷۷/۳۳ در مقابل ۲۰ درصد، P=۰/۰۰۱). جدول ۴ نشان می دهد که تفاوت معنی داری در سطح متیلاسیون ۵۱-۱۰۰ درصد بین بیماران کرونیك و پیشرفته بیماری وجود دارد، به عبارتی هایپرمتیلاسیون پروموتور DDIT3 در سطح ۵۱-۱۰۰ درصد خطر بالاتری (۵/۷۵ برابر) برای پیشرفت به فازهای تسریع و بلاستیک نشان می دهد (OR=۵/۷۵، ۹۵ درصد فاصله اطمینان ۲۳/۴۹-۱/۴۰؛ P=۰/۰۰۱) (جدول ۴).



شکل ۲. منحنی ذوب نرمالایز شده متیلاسیون ژن DDIT3. منحنی کنترل‌های استاندارد صفر، ۲۵، ۵۰، ۷۵ و ۱۰۰ درصد و یک نمونه بیمار S با درصد متیلاسیون ۵۰-۷۵ درصد (منحنی آبی روشن)

همراهی بین سطح متیلاسیون پروموتور ژن DDIT3 و پاسخ به ایماتینیب

در این مطالعه سطح متیلاسیون ناحیه پروموتور ژن DDIT3 در بیماران CML محدوده بین ۱۰۰-۲۵ درصد بود و ۸۵ درصد بیماران پاسخگو به ایماتینیب دارای سطح متیلاسیون ۲۵-۵۰ درصد بودند. بنابراین جهت ارزیابی تفاوت سطح متیلاسیون بین بیماران مقاوم و بیماران پاسخ خوب، سطح متیلاسیون به دو

این یافته در مطالعه دیگری برای بررسی متیلاسیون ژن *DDIT3* توسط Lin و همکارانش روی بیماران سندرم میلودیسیپلاستیک (MDS) ۳۱/۸ درصد هایپرمتیلاسیون در بیماران و هیچ متیلاسیونی در کنترل‌ها گزارش شد (۱۸). در مطالعه حاضر متیلاسیون پروموتور ژن مذکور در بیماران و کنترل‌ها گزارش شد، اما فراوانی هایپرمتیلاسیون ژن *DDIT3* (سطح ۱۰۰-۵۰ درصد) در ۸۰ درصد بیماران و ۴۰ درصد کنترل‌ها یافت شد و تفاوت معنی‌داری مشاهده شد. در این مطالعه بین هایپرمتیلاسیون ژن *DDIT3* با پیشرفت بیماری به فاز AP و BC ارتباط قوی و معنی‌داری وجود داشت، به طوری که هایپرمتیلاسیون ژن مذکور در میان بیماران با فازهای AP و BC در حدود ۵/۷ برابر بیشتر از بیماران با فاز مزمن بیماری بود. با توجه به این یافته مطالعه ما پیشنهاد می‌کند که متیلاسیون پروموتور ژن *DDIT3* ممکن است در فازهای مختلف تکامل بیماری اتفاق بیافتد. این یافته در دیگر مطالعات گزارش نشده است و فقط در مطالعه Wang و همکارانش هیچ همراهی بین فراوانی هایپرمتیلاسیون ژن *DDIT3* و فازهای مختلف بیماری یافت نشد (۱۴). مطالعات بیشتر روی تعداد بیشتری از بیماران برای کشف نقش متیلاسیون ژن *DDIT3* روی پیشرفت بیماری *CML* مورد نیاز است.

در مطالعه حاضر وضعیت سیگار بین بیماران مقاوم به ایماتینیب و بیماران با پاسخ خوب مقایسه شد و تفاوت معنی‌داری بین دو گروه وجود داشت. ما همچنین ارتباط سطح متیلاسیون پروموتور ژن *DDIT3* را با سیگار برای اولین بار ارزیابی کردیم. همراهی معنی‌داری بین سیگار و هایپرمتیلاسیون ژن مذکور وجود داشت. ریسک هایپرمتیلاسیون در میان سیگاری‌ها به طور معنی‌داری بالاتر از غیر سیگاری‌ها بود. فاکتورهای محیطی مانند سیگار بسته به زمان در معرض قرار گرفتن مثلاً دوره قبل از تولد یا دوره بزرگسالی می‌توانند اثرات مختلفی روی متیلاسیون DNA داشته باشند. به طور خاص دود سیگار به عنوان یک فاکتور محیطی و هشدار جدی سلامت در دنیا چه در مورد سیگاری‌های کنونی و چه در دوره جنینی به عنوان یک تنظیم‌کننده قوی متیلاسیون DNA مطرح است. بنابراین متیلاسیون DNA رابط مکانیکی بالقوه‌ای بین سیگاری‌های کنونی و سرطان و همچنین بین جنین‌های در معرض دود سیگار و تکامل بیماری‌های مزمن در بزرگسالی است (۲۳). تغییرات اپی ژنتیکی حاصله توسط دود سیگار عمدتاً با غیرفعال شدن آنزیم‌هایی که این تغییرات ژنتیکی را تنظیم می‌کنند ایجاد

همراهی بین هایپر متیلاسیون پروموتور ژن *DDIT3* و سیگار

در این مطالعه وضعیت سیگار بین دو گروه مقاوم به ایماتینیب و گروه پاسخگو تفاوت معنی‌داری داشت و تعداد افراد سیگاری در گروه مقاوم به دارو بیشتر از گروه پاسخگو بود (جدول ۲). طبق جدول ۵ نیز همراهی معنی‌داری بین سیگار و هایپرمتیلاسیون ژن *DDIT3* وجود داشت. ریسک هایپرمتیلاسیون در میان سیگاری‌ها به طور معنی‌داری ۳/۷ برابر بالاتر از گروه غیر سیگاری بود (OR=۱۱/۸، ۹۵٪ فاصله اطمینان ۵۲/۶۷-۲۶/۷؛ P=۰/۰۰۱) (جدول ۵).

بحث

بیماری *CML* از نظر ژنتیکی در فاز اولیه یک بیماری هموزنوس است، اما مکانیسم ترانسفورماسیون از فاز CP به فاز BC و پاسخ به درمان هتروژنوس است (۱۰). این هتروژنیتی به حوادث مولکولی مانند مکانیسم‌های ژنتیکی و اپی ژنتیکی مانند موتاسیون‌های ژن *ABL1*، متیلاسیون CpG‌های پروموتور ژن‌ها و تغییرات هیستونی نسبت داده می‌شود (۲۲). شواهد محکم و متعددی وجود دارد که تغییرات اپی ژنتیکی مانند DNA متیلاسیون به عنوان یکی از مکانیسم‌های مهم در کنترل بیان ژن، به مقاومت درمان در بیماران *CML* مربوط می‌شود که منجر به انتشار کلون‌های مقاوم لوکمیک و پیشرفت بیماری می‌شود (۱۲). در مطالعه حاضر ما همراهی متیلاسیون پروموتور ژن *DDIT3* را با مقاومت به ایماتینیب و پیشرفت بیماری نشان دادیم و علاوه بر این همراهی دود سیگار با هایپرمتیلاسیون ژن *DDIT3* را به عنوان یک یافته جدید برای اولین بار نشان دادیم. یافته‌های ما نشان داد که هایپر متیلاسیون پروموتور ژن *DDIT3* در سطح ۱۰۰-۵۱ درصد با ریسک بالاتر (۸/۵ برابر) مقاومت به ایماتینیب همراه است. به نظر می‌رسد این یافته یک روش جایگزین آنالیز موتاسیون‌های ژن *ABL1* برای ارزیابی پاسخ به درمان در بیماران *CML* فراهم می‌کند. در تنها مطالعه بررسی متیلاسیون ژن مذکور روی بیماران *CML* که توسط Wang و همکارانش صورت گرفت گزارش شد که تفاوت معنی‌داری در سطح ترانسکریپت *BCR-ABL1* بین دو گروه متیله و غیرمتیله وجود نداشت، به عبارتی تفاوتی از نظر سطح پاسخ به درمان وجود نداشت. در مطالعه Wang و همکارانش فراوانی متیلاسیون ژن *DDIT3* در ۶۶ درصد از بیماران یافت شد، در حالی که در هیچ کنترل سالمی وجود نداشت (۱۴). در تایید

مطالعات بیشتر برای تایید نتایج این مطالعه و پیشنهاد هایپرمتیلاسیون پروموتور ژن *DDIT3* بعنوان یک بیومارکر اپی ژنتیکی بالقوه مقاومت به درمان و پیشرفت بیماری مورد نیاز است.

تشکر و قدردانی

از کلیه بیماران شرکت کننده به دلیل همکاری و مساعدت در انجام این مطالعه تشکر و قدردانی می کنیم. این پژوهش با حمایت انستیتو پاستور ایران (شماره گرنت ۱۰۳۳) انجام شد.

می شوند و موجب بیان چندین ژن التهابی می شوند. در واقع واکنشهای التهابی القا شده بوسیله دود سیگار ممکن است موجب تغییر الگوی متیلاسیون شوند. آزمونهای مورد اشاره مانند *DNMT1* که در سلولهای پرولیفراتیو عرضه میشوند مسئول حفظ مادام العمر متیلاسیون DNA در طول تقسیم سلولی هستند (۲۴). به طور خلاصه نتایج این مطالعه نشان داد که هایپرمتیلاسیون پروموتور ژن *DDIT3* با مقاومت به ایما تینیب و پیشرفت بیماری مرتبط است. علاوه بر این ما نتیجه گرفتیم که هایپر متیلاسیون ژن *DDIT3* در افراد سیگاری بیشتر از افراد غیرسیگاری بود. به نظر می رسد که

REFERENCES

- Mughal TI, Radich JP, Deininger MW, Apperley JF, Hughes TP, Harrison CJ, et al. Chronic myeloid leukemia: reminiscences and dreams. *Haematologica* 2016;101:541-58.
- Benchikh S, Bousfiha A, El Hamouchi A, Soro SGC, Malki A, Nassereddine S. Chronic myeloid leukemia: cytogenetics and molecular biology's part in the comprehension and management of the pathology and treatment evolution. *Egypt J Med Hum Genet* 2022;23:1-13.
- Rostami G, Assad D, Ghadyani F, Hamid M, Karami A, Jalaeikhoo H, et al. Influence of glutathione S-transferases (GSTM1, GSTT1, and GSTP1) genetic polymorphisms and smoking on susceptibility risk of chronic myeloid leukemia and treatment response. *Mol Genet Genomic Med* 2019;7:e00717.
- Adnan Awad S, Kankainen M, Ojala T, Koskenvesa P, Eldfors S, Ghimire B, et al. Mutation accumulation in cancer genes relates to nonoptimal outcome in chronic myeloid leukemia. *Blood Adv* 2020;4:546-59.
- Mohammadi F, Shafiei M, Assad D, Rostami G, Hamid M, Foroughmand AM. Impact of ABCB1 Gene Polymorphisms and Smoking on the Susceptibility Risk of Chronic Myeloid Leukemia and Cytogenetic Response. *Iran Biomed J* 2021;25:54-61.
- Wu W, Xu N, Zhou X, Liu L, Tan Y, Luo J, et al. Integrative genomic analysis reveals cancer-associated gene mutations in chronic myeloid leukemia patients with resistance or intolerance to tyrosine kinase inhibitor. *Onco Targets Ther* 2020;13:8581-8591.
- Ernst T, La Rosée P, Müller MC, Hochhaus A. BCR-ABL mutations in chronic myeloid leukemia. *Hematol Oncol Clin North Am* 2011; 25: 997-1008.
- Rostami G, Hamid M, Yaran M, Khani M, Karimipoor M. Incidence and clinical importance of BCR-ABL1 mutations in Iranian patients with chronic myeloid leukemia on imatinib. *J Hum Genet* 2015; 60: 253-258.
- Elias MH, Baba AA, Husin A, Sulong S, Hassan R, Sim GA, et al. HOXA4 gene promoter hypermethylation as an epigenetic mechanism mediating resistance to imatinib mesylate in chronic myeloid leukemia patients. *Biomed Res Int* 2013;2013.
- Guru SA, Sumi MP, Mir AR, Beg MMA, Saxena A. Aberrant hydroxymethylation in promoter CpG regions of genes related to the cell cycle and apoptosis characterizes advanced chronic myeloid leukemia disease, poor imatinib respondents and poor survival. *BMC Cancer* 2022; 22:1-15.
- Yang X, Wong MPM, Ng RK. Aberrant DNA methylation in acute myeloid leukemia and its clinical implications. *Int J Mol Sci* 2019;20:4576.
- Amabile G, Di Ruscio A, Müller F, Welner RS, Yang H, Ebralidze AK, et al. Dissecting the role of aberrant DNA methylation in human leukaemia. *Nat Commun* 2015;6:1-10.
- Jelinek J, Gharibyan V, Estecio MR, Kondo K, He R, Chung W, et al. Aberrant DNA methylation is associated with disease progression, resistance to imatinib and shortened survival in chronic myelogenous leukemia. *PLoS One* 2011;6:e22110.
- Wang Y-l, Qian J, Lin J, Yao D-m, Qian Z, Zhu Z-h, et al. Methylation status of *DDIT3* gene in chronic myeloid leukemia. *J Exp Clin Cancer Res* 2010;29:54.
- Radin D, Hamid M, Kargar M, Jafarinia M. Hypermethylation of HOXA4 Gene Promoter and Its Potential Association with Disease Progression, Imatinib Resistance, High Sokal Score Risk, and Smoking among Chronic Myeloid Leukemia Patients. *Russ J Genet* 2023;59:S199-207.

16. Qian J, Chen Z, Lin J, Wang W, Cen J. Decreased expression of CCAAT/enhancer binding protein ζ (C/EBP ζ) in patients with different myeloid diseases. *Leuk Res* 2005;29:1435-41.
17. Musialik E, Bujko M, Kober P, Grygorowicz MA, Libura M, Przechrzelska M, et al. Comparison of promoter DNA methylation and expression levels of genes encoding CCAAT/enhancer binding proteins in AML patients. *Leuk Res* 2014;38:850-6.
18. Lin J, Wang Y-l, Qian J, Yao D-m, Zhu Z-h, Qian Z, et al. Aberrant methylation of DNA-damage-inducible transcript 3 promoter is a common event in patients with myelodysplastic syndrome. *Leuk Res* 2010;34:991-4.
19. Baccarani M, Deininger MW, Rosti G, Hochhaus A, Soverini S, Apperley JF, et al. European Leukemia Net recommendations for the Management of chronic myeloid leukemia. *Blood* 2013;122:872-884.
20. Miller S, Dykes D, Polesky H. A simple salting out procedure for extracting DNA from human nucleated cells. *Nucleic Acids Res* 1988;16:1215.
21. Wojdacz TK, Borgbo T, Hansen LL. Primer design versus PCR bias in methylation independent PCR amplifications. *Epigenetics* 2009; 4: 231-4.
22. Mir R, Ahmad I, Javid J, Farooq S, Yadav P, Zuberi M, et al. Epigenetic silencing of DAPK1 gene is associated with faster disease progression in India populations with Chronic Myeloid Leukemia. *J Cancer Sci Ther* 2013;5:144-149.
23. Lee KWK, Pauzova Z. Cigarette smoking and DNA methylation. *Front Genet* 2013;4:132.
24. Zong D, Liu X, Li J, Ouyang R, Chen P. The role of cigarette smoke-induced epigenetic alterations in inflammation. *Epigenetics Chromatin* 2019;12:65